تحضير وتشخيص مركبات جديدة لأحماض الأميك والايمايدات المشتقة من حامض الأولييك وتقييم الفعالية البايولوجية لها

نسل حمال عائد جامعة تكريت/ كلية التربية للبنات جامعة تكريت/ كلية التربية للعلوم الصرفة

اىمان أيوب ياس

خلاصة :

يتضمن هذا البحث تحضير مشتق الأستر [11] من خلال مفاعلة الميثانول مع حامض الأولييك ثم تحضير مشتق الثايوسيميكاربازايد [12] من تفاعل حامض الأولييك مع الثايوسيمكاربازايد ثم مفاعلته مع حامض الكبريتيك ليعطي مشتق -2أمينو -4،3،1 ثايادايازول [13] بعد ذلك مفاعلتها مع ماليك إنهيدريد وفثاليك إنهيدريد لتحضير حوامض الأميك [14 ، 14] ثم غلقها بسحب جزيئة ماء لتعطى الإيهايدات [16] ، 13]، ثم شخصت المركبات المحضرة ببعض الطرائق الطيفية مثل طيف الأشعة فوق البنفسجية وطيف الأشعة تحت الحمراء وأطياف الرنين النووي المغناطيسي وقياس درجات الانصهار، ومتابعة سير التفاعلات بكروماتوغرافيا الطبقة الرقيقة، وتم تقييم الفعالية البايولوجية لبعض المركبات المحضرة على نمو على ثلاث أنواع من البكتريا وهي Citrobacter freundii و Staphylococcus Epidermidis .Staphylococcus aureus 9

Synthesis and Characterization of New Compounds of Amic Acid and Imides Derived from Oleic Acid and Evaluation of Their Biological Activity

IMAN AUOB YASS University of Tikrit / College of Education for for Women Nabeel Jamal Ayed University of Tikrit / College of Education for Pure Sciences

Abstract:

This thesis includes synthesis of ester derivative [11] through reaction methanol with Oleic acid, and synthesis of thiosemicarbazide derivative [12] through reaction Oleic acid with thiosemicarbazide, and synthesis 2-amino 1,3,4-thiadiazole derivative [I3] through reaction [I2] with sulfuric acid, and synthesis amic acid derivatives [I4, I5] through reaction [I3] with malic anhydride or phthalic anhydride then closed to given Imides derivatives [16, 17]. The prepared compounds have been characterized by using spectroscopic techniques Uv/Viss, FT-IR and 1H-NMR of some the prepared compounds using DMSO-d6 a solvent, melting point and determination a purity of TLC, and this thesis consists a study of biological activity for the prepared complexes against three types of pathogenic bacteria [Citrobacter freundii, Staphylococcus Epidermidis and Staphylococcus aurous].

المقدمة

الحوامض الكاربوكسيلية من الحوامض الضعيفة وهي مركبات عضوية تحتوي على مجموعة الكاربوكسيل(1) (COOH) ولها صيغة عامة (RCOOH). وتعد مشتقات الثايوسيميكاربازايد من المركبات الأولية المهمة لتحضير مشتقات الثايادايازول والترايازول والأوكسادايازول فضلاعن فعاليتها البايولوجية ضد أنواع مختلفة من البكتيريا وتحضر هذه المشتقات بطرق متعددة (3). أما مركبات الثايادايازول فهي مركبات حلقية خماسية غير متجانسة أروماتية تحتوي على ذرتي نيتروجين وذرتي كاربون وذرة كبريت واحدة ويكون توزيع ذري النيتروجين (4)، ومن الثايادايازول تحضر الإيهايدات وقد حضرت هذه المركبات لأول مرة عام 1898 قبل Guistiniant وجماعته (5) وهي مركبات عضوية تحتوي على مجموعتى كاربونيل وذرة نتروجين واحدة، وبصورة عامة تحضر الإيمايدات الحلقية بسحب جزيئة ماء من حوامض الأميك المقابلة وباستعمال كواشف ساحبة للماء (6, 7)، أما البوليمرات فتعرف بأنها مركبات لها أوزان جزيئية كبيرة تتكون من وحدات بنائية متشابهة، الوحدة البنائية من هذه المركبات البوليمرية تعرف بالمونومس (8).

الجزء العملي:

المواد الكيميائية المستخدمة: جميع المواد المستخدمة مجهزة من الشركات (Alfa Aesar, Fluka).

طرائق العمل:

 $= \frac{(9)}{2} [I_1]^{(9)}$ عضير الأستر

تم تحضير الأستر من إذابة (0.01 2.82 gm) من حامض الأولييك في زيادة من الكحول

المثيلي في دورق دائري القعر ويضاف بضع قطرات من حامض الهيدروكلوريك (HCl) ويصعد المزيج لمدة (9) ساعات مع التحريك المستمر، بعدها يترك المحلول ليبرد ثم يرشح الراسب ويعاد بلورته باستخدام الميثانول، والخواص الفيزيائية مذكورة بالجدول (1).

\mathbf{I}_{2} غضير مشتق الثايوسيمكاربازايد \mathbf{I}_{2} :

اذیب (mol, 2.82 gm 0.01) من حامض الأولییك مع (mol, 0.91 gm 0.01) من الأولییك مع (mol, 0.91 gm 0.01) من مذیب الثایوسیمکاربازاید فی (20 $^{\circ}$ C) لمدة الدایوکسان، ثم یسخن المزیج الی (120 $^{\circ}$ C) لمدة (4) ساعات بوجود حامض (1:1 $^{\circ}$ C), بعد ذلك یبرد المحلول ویرشح ثم یغسل بالإیثانول ثم المیثانول ثم بالأسیتون ثم بترولیوم إیثر ثم بالإیشر، والخواص الفیزیائیـة مذکـورة بالجـدول (1).

تحضير مشتق – 2أمينو – 4،3،1 ثايادايازول I_3 (11): يذاب (13 gm 0.007) من مشتق الثايوسيمكاربازايد في (2.3 gm 0.007) من الدايوكسان ثم يضاف (3 gm) من حامض الكبريتيك المركز تدريجياً مع التبريد، بعد ذلك يصعد المزيج من تدريجياً مع التبريد، بعد ذلك يصعد المزيج من وبعدها يرشح ثم يغسل بالإيثانول ثم بالميثانول ثم بالأسيتون ثم بتروليوم إيثر ثم بالإيثار، والخواص الفيزيائية مذكورة بالجدول (1).

تحضير مشتقي حوامض الماليئاميك والفثاليئاميك $[I_5,I_4]$ والفثاليئاميك

تذاب (mol 0.002) من مشتق الأمين الأروماتي في مذيب مناسب (أسيتون، إيثانول) ثم يضاف (mole 0.001) من إنهيدريد الماليك

وإنهدريد الفثاليك المذاب بنفس المذيب وبشكل قطرات على المحلول، بعد ذلك يترك المزيج تحت التحريك في حمام ثلجي الى أن يترسب الحامض المقابل، يرشح ويغسل بالكحول الأثيلي ثم المثيلي ثم الأسيتون ثم الإيشر، والخواص الفيزيائية مذكورة بالجدول (1).

تحضير مشتقي الماليئيهايد والفثاليئيهايد [I₇,I₆] (1): يـذاب في دورق دائـري (mol 0.001) مشـتق حوامـض الماليئاميـك والفثاليئاميـك في حامـض الخليـك اللامائـي مـع إضافـة قليـل مـن خـلات

الصوديوم، وبعدها يصعد المزيج مع التحريك المستمر لحين تغير لون المحلول، ثم يبرد ويصب على جريش الثلج فيلاحظ تكون طبقة زيتية، ومع استمرار التحريك يترسب مشتق الماليئيايد المقابل أو الفثاليئيايد المقابل، ثم يرشح ويغسل بالماء المقطر ثم بمحلول مجفف من بيكاربونات الصوديوم، ومن ثم بالكحول الأثيلي وتعاد بلورته من مذيب مناسب، والخواص الفيزيائية مذكورة بالحدول (1).

الجدول (1): بعض الصفات الفيزيائية للمركبات المحضرة [11-1].

Comp.	Molecular Formula / M.Wt g /mol	Color	.M.P (°C)	Yield ('/.)	.R.f
I	C ₁₉ H ₃₆ O ₂ 296.50	Yellow	Oily	50	0.87
I	C ₁₉ H ₃₇ N ₃ OS 355.59	White	261D	56	0.88
I ₃	C ₁₉ H ₃₅ N ₃ S 337.57	White crystalline	152- 153	63	0.85
I ₄	C ₂₃ H ₃₇ N ₃ O ₃ S 435.63	Light yellow	152- 153	50	0.86
I ₅	C ₂₇ H ₃₉ N ₃ O ₃ S 485.69	White waxy	210D	50	0.81
I	C ₂₃ H ₃₅ N ₃ O ₂ S 417.61	Orange	124- 126	8 4	0.86
I,	C ₂₇ H ₃₇ N ₃ O ₂ S 467.67	Dark brown	152- 153	90	0.95

وفي هذا البحث تم تحضير العديد من المركبات الكيميائية I_7,I_1 وكما في المخطط رقم (1):

النتائج والمناقشة:

المحضر $[I_1]$ من خلال قياس أطياف الأشعة فوق $[I_1]$ 1461 سم أطياف الأشعة فوق المنطقة 1430 سم البنفسجية المرئية باستخدام الدايوكسان كمذيب سم-1، وأظهرت مط مجموعة (C=C) امتصاصاً وبتركيز (10-4) مولاري وأظهرت أطوال موجية عند 1612 سم-1، و(=H-) عند 3012 سم-1، أما عند (252، 264) نانوميتر تعود إلى انتقالات مجاميع (C-C) انحناء خارج المستوي فقد ظهرت $\pi \leftarrow n$) وانتقالات $\pi \leftarrow n$)، وعند دراسة في المناطق 790 سم 1، و 729 سم 20 سم 1، وحزمة طيف الأشعة تحت الحمراء (IR) للمركب [I₁] لوحظ ظهور مجموعة (C=O) الأسترية المطية عند المنطقة بين 1739 سم $^{-1}$ ، وظهرت (C-H) موجود بالأدبيات الأليفاتية امتصاصاً للمط المتناظر 2927 سم1-،

وغير المتناظر عند 2854 سم-1، أما حزمة (-C تشخيص الأستر [I_1]: تم تشخيص المركب H) غير المطية (CH3) فقيد ظهرت في المنطقة (C-H) خارج المستوي فقد أظهرت امتصاصاً في المنطقة 649 سم-1، وكانت هذه الحزم مقاربة لما

تشخیص مشتق الثایوسیمکاربازاید [I_2]: تم تشخيص المركب المحضر [12] من خلال قياس أطياف الأشعة فوق البنفسجية المرئية باستخدام الدايوكسان كمذيب وبتركيز (10-4) مولاري وأظهرت أطوال موجية عند (244، 247، 255، و277) نانوميتر تعود إلى انتقالات $\pi \leftarrow n$)، وانتقالات $\pi \leftarrow n$)، وعند دراسة طيف الأشعة تحت الحمراء (IR) للمركب [I2] لوحظ ظهور حزمة الكاربونيل الأميدية عند الما $^{-1}$ ، أما مجموعة (NH) فقد أظهرت 1641 امتصاصاً غُير متناظر في المنطقة 295 سم-1، في حين أظهرت مجموعة (NH2) إمتصاصات مطية متناظرة في المنطقة 3178 سم-1، والأخرى عند 3369 سم- على التوالي، أيضاً ظهرت حزم مطية متناظرة لمجموعة الثايوأميد (S=C-NH) عند 008 سم-1، أما باقى الحزم فحافظت على مواقعها، (14). وعند دراسة طيف الرنين النووي المغناطيسي للبروتون H-NMR لمركب $[I_2]$ كما في الشكل (3) نلاحظ ظهور إشارة قوية عند (9.91) جزء من المليون وهي تعود لبروتون (NH) في مجموعة الثايويوريا، كما ظهرت إشارة متوسطة عند (8.00) جزء من المليون تعود لبروتون الأمين الثانوي في مجموعة الأميد، كذلك ظهرت اشارتان متوسطتان تعودان لبروتونات مجموعة الأمين الأولي في الثايويوريا مع اشارتان مجاورة وضعيفة تعود لبروتونات مجموعة الأثيلين (HC=CH) عند (6.96 - 7.09) جزء من المليون ويظهر لدينا أيضاً في الشكل إشارات متعددة (1.90 - 2.09) جزء من المليون تعود لمجاميع المثيلين، واشارة أخيرة وضعيفة تعود لمجموعة المثيل الطرفية. كذلك عند دراسة طيف الرنين النووي المغناطيسي للكاربون (4) لركب $[I_2]$ كما في الشكل 13 C-NMR لركب

تشخیص مشتق 2 – أمینو – 4.3.1 – ثایادایازول $[I_3]$: تم تشخیص المرکب المحضر ثایادایازول $[I_3]$ من خلال قیاس أطیاف الأشعة فوق البنفسجیة المرئیة باستخدام الدایوکسان کمذیب وبترکیز (10^{-4}) مولاری وأظهرت أطول موجیة عند (10^{-4}) مولاری وأظهرت أطوال موجیة عند (10^{-4}) وانتقالات (10^{-4})، وعند دراسة طیف الأشعة تحت الحمراء (10^{-4}) للمرکب 10^{-4} والموال حزمة (10^{-4}) في المنطقة 10^{-4} وظهور حزمة (10^{-4}) في المنطقة 10^{-4} وغموعة (10^{-4}) عند (10^{-4}) سم⁻¹، وحزمة أخرى في المنطقة 10^{-4} عند (10^{-4}) عند (10^{-4})

تشخیص حوامض المالیئامیک والفثالیئامیک تشخیص حوامض المالیئامیک و I_5,I_4]: شخص المرکبین مین خیلال قیاس أطیاف الأشعة فوق البنفسجیة المرئیة باستخدام (DMSO) کمذیب وبترکیز (I_6) مولاری وأظهرت أطوال موجیة عند (I_6) مولادی نانومیتر للمرکب I_6] وعند (I_6) انانومیتر للمرکب I_6] نانومیتر تعود إلی انتقالات نانومیتر للمرکب I_6

 $\pi \leftarrow n$) وانتقالات $\pi \leftarrow n$)، وعند دراسة طيف (IR) للمركب[14] لوحظ ظهور حزم مطية الحزم حافظت على مواقعها (16). قوية تمثل حزمة المط الاهتزازية (NH) الأميدية وتظهر في المنطقة 3438 سم-1، وحزمة الانحناء لذات المجموعة عند 1510 سم-1، وحزم مجاميع (C=O) الحامضية والأميدية والتي تظهر في المناطق 1720 سم-1، 1637 سم-1 على التوالي، وظهرت حزمة مط مجموعة (OH) في المناطق 3467 سم-1، وحزمة الانحناء عند 950 سم-1، وباقي الحزم حافظت على مواقعها (١١)، أما عند دراسة طيف (IR) للمركب [I5] لوحظ ظهور حزم مطية قوية تمثل حزمة المط الاهتزازية (NH) الأميدية وتظهر في المنطقة 3438 سم-1، وحزمة الانحناء لذات المجموعة عند 1510 سم-1، وحزم مجاميع (C=O) الحامضية والأميدية والتي تظهر في المناطق 1703 سم⁻¹، 1670 سم⁻¹ على التوالي، كما تظهر حزمة مط مجموعة (OH) في المناطق 3467 سم⁻¹، وحزمة الانحناء عند 906 سم-1، مع ظهور حزم مط تعود إلى مجموعة (C=C) الأروماتية التي تنفصل إلى حزمتين عند (1461 و1600) سم-١،

وحزمة مط (H=) عند 3110 سم $^{-1}$ ، وباقي

تشخيص مشتقى الماليئيم إلى والفثاليئيم إلى المرابع I6]: تم تشخيص المركبين من خلال قياس أطياف الأشعة فوق البنفسجية المرئية باستخدام (DMSO) كمذيب وبتركيز (10-4) مولاري وأظهرت أطوال موجية عند (342) نانوميتر للمركب [16] وعند (430 و430) نانوميتر للمركب [I₇] تعود إلى انتقالات ($\pi \leftarrow \pi$ *) وانتقالات ($\pi \leftarrow \pi$ *)، وعنـد دراسة طيف (IR) للمركبين لوحظ اختفاء حزمة (C=O) الحامضية وحزم (OH) المطية والانحنائية ومجموعة (NH) الأميدية، أما بقية الحزم فقد بقيت محافظة على مواقعها وكانت هذه الحزم مقاربة لما موجود بالأدبيات (17).

التشخيص بالتحليل الدقيق للعناصر (C.H.N.S): تم اجراء قياس التحليل الدقيق للعناصر لبعض المركبات المحضرة وكانت القياسات مطابقة أو مقاربة للنسبة المحسوبة وكها مبين في الجدول (2).

جدول (2): نتائج التحليل الدقيق للعناصر (C.H.N.) لبعض المركبات المحضرة.

Comp.	Molecular	Calculated			Found				
No.	Formula	C'/.	Н7.	N%.	S%	C'/.	Н%.	N%.	S%.
I	$C_{19}H_{36}O_{2}$	76.97	12.24			77.08	12.01		
I	C ₁₉ H ₃₇ N ₃ OS	64.22	10.36	11.76	8.98	64.55	9.67	11.90	9.51
I ₃	$C_{19}H_{35}N_{3}S$	67.60	10.45	12.45	9.50	67.82	10.61	12.30	9.37
I	$C_{23}H_{37}N_{3}O_{3}S$	63.42	8.56	9.65	7.36	63.20	8.41	9.58	7.47
I	$C_{27}H_{39}N_{3}O_{3}S$	66.77	8.09	8.65	6.60	66.97	7.94	8.71	6.65
I	$C_{23}H_{35}N_{3}O_{2}S$	66.15	8.45	10.06	7.68	66.00	8.39	9.93	7.59
, I	$C_{27}H_{37}N_{3}O_{2}S$	69.34	7.97	8.99	6.86	69.56	7.80	9.13	7.01

مناقشة طيف (of GC-Mass spectrum: نلاحظ في جارت of GC-Mass spectrum للمركب [I4] ظهور قمة عند (الزمن (20.4 دقيقة) والأخرى عند الزمن (دقائق) ونرجح وجود أيزومرين ترانس وسز، وفي الجارت الثاني نلاحظ ظهور قمة عند = m /z=

m / عند (C6H3N2S) (ر20) (C6H3N2S) وقمة أخرى عند (C4H6N) (ر2) (C4H6N) وقمة ثالثة عند (C4H6N) (ر2) فتمثل هذه القمة الخيط الأساس للمجموعة (CH2SCH3) التي تثبت صحة المركب، أما باقي القمم فتثبت الشكل للمركب بدقة.

$$CH_3(CH_2)_7CH=CH(CH_2)_7$$
 $N=N$
 $N=N$

تقييم الفعالية البايولوجية لبعض المركبات المحضرة:

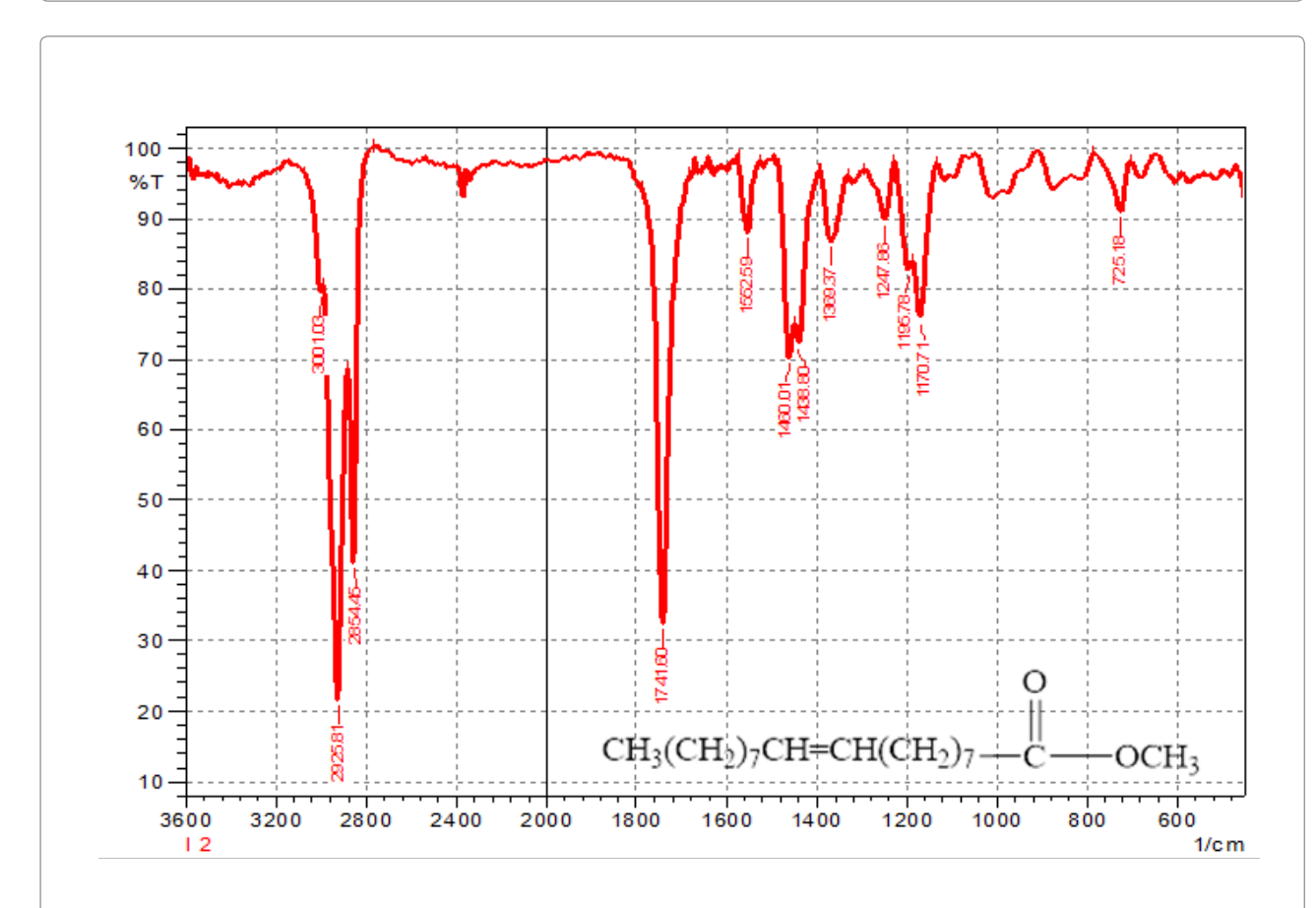
تم تقييم الفعالية البايولوجية للمركبات
المحضرة على ثلاث أنواع من البكتريا وهي
Citrobacter freundii
و Staphylococcus aureus
و Epidermidis
تم اختيار هذه الجراثيم نظراً لأهميتها الطبية إذ
إنها تسبب العديد من الأمراض، فضلاً عن ذلك

فإنها تختلف في مقاومتها للمضادات الحيوية وقد تم تقييم الفعالية البايولوجية لبعض المركبات المحضرة باستعمال طريقة الحفر وقياس مستوى التثبيط (inhibition zone) وتشير النتائج إلى أن المركبات المحضرة تمتلك قدرة على تثبيط نمو البكتريا المستخدمة بنسب متباينة وكها في الجدول (3).

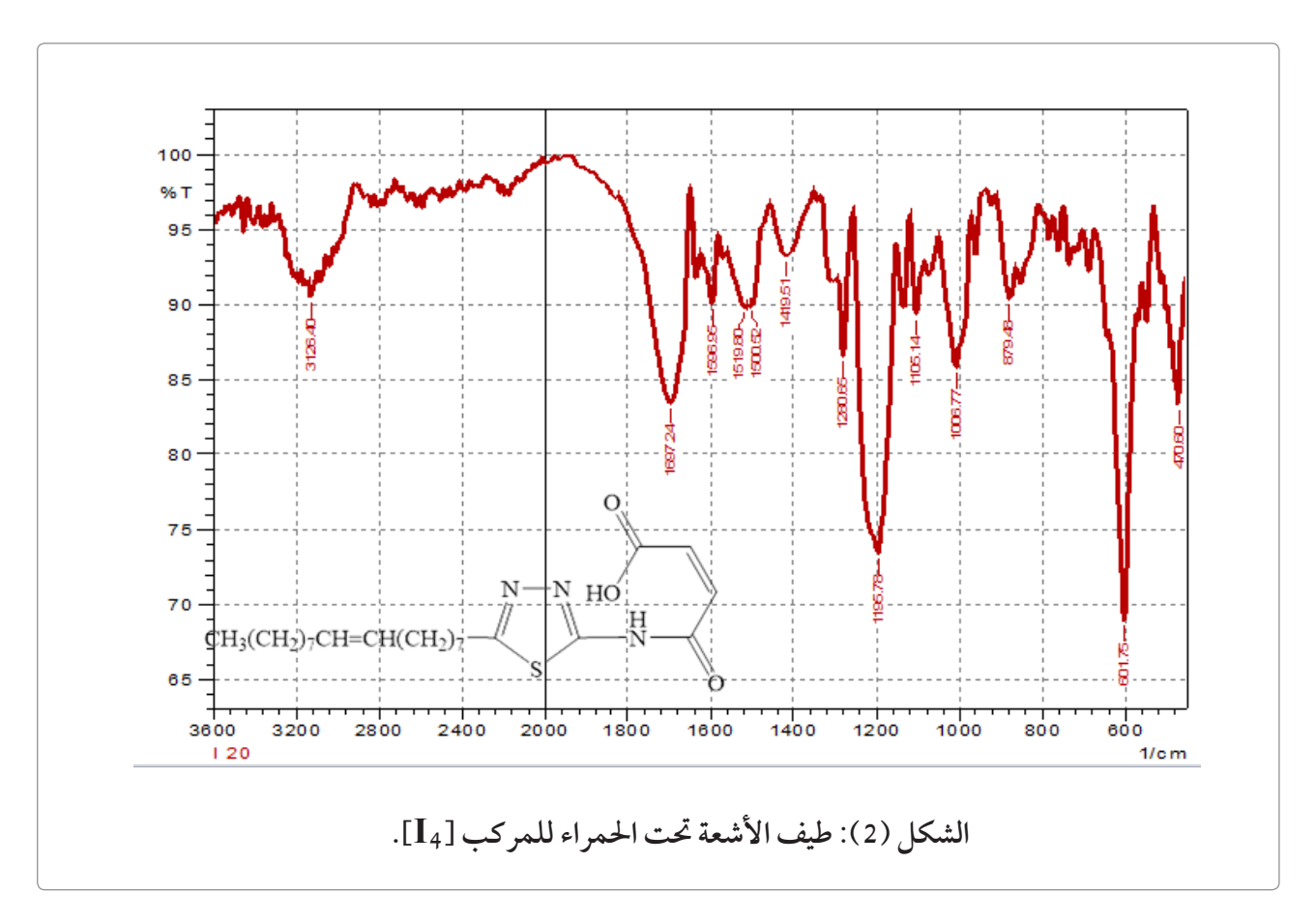
جدول (3): الفعالية البايولوجية للمركبات المحضرة في نمو البكتريا (قطر دائرة التثبيط مقاسة بـ ملم).

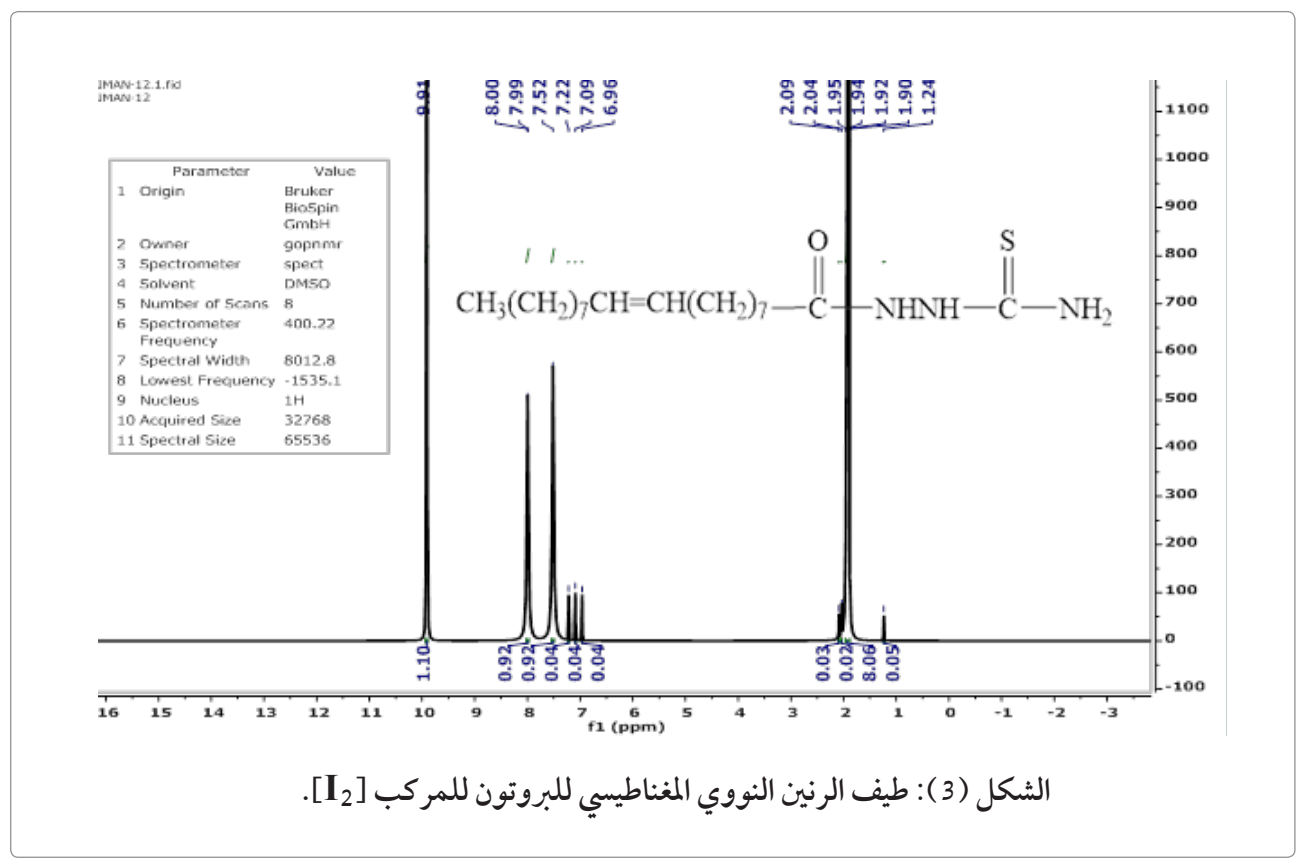
Comps. No.	Staphylococcus aureus	Staphylococcus Epidermidis	Citrobacter freundii
I_1	S, S, S	R, R, R	S, M, M
I_3	S, S, S	R, R, R	S, S, S
I_4	S, S, S	R, R, S	S, S, S
I ₅	S, S, S	S, M, S	S, S, S

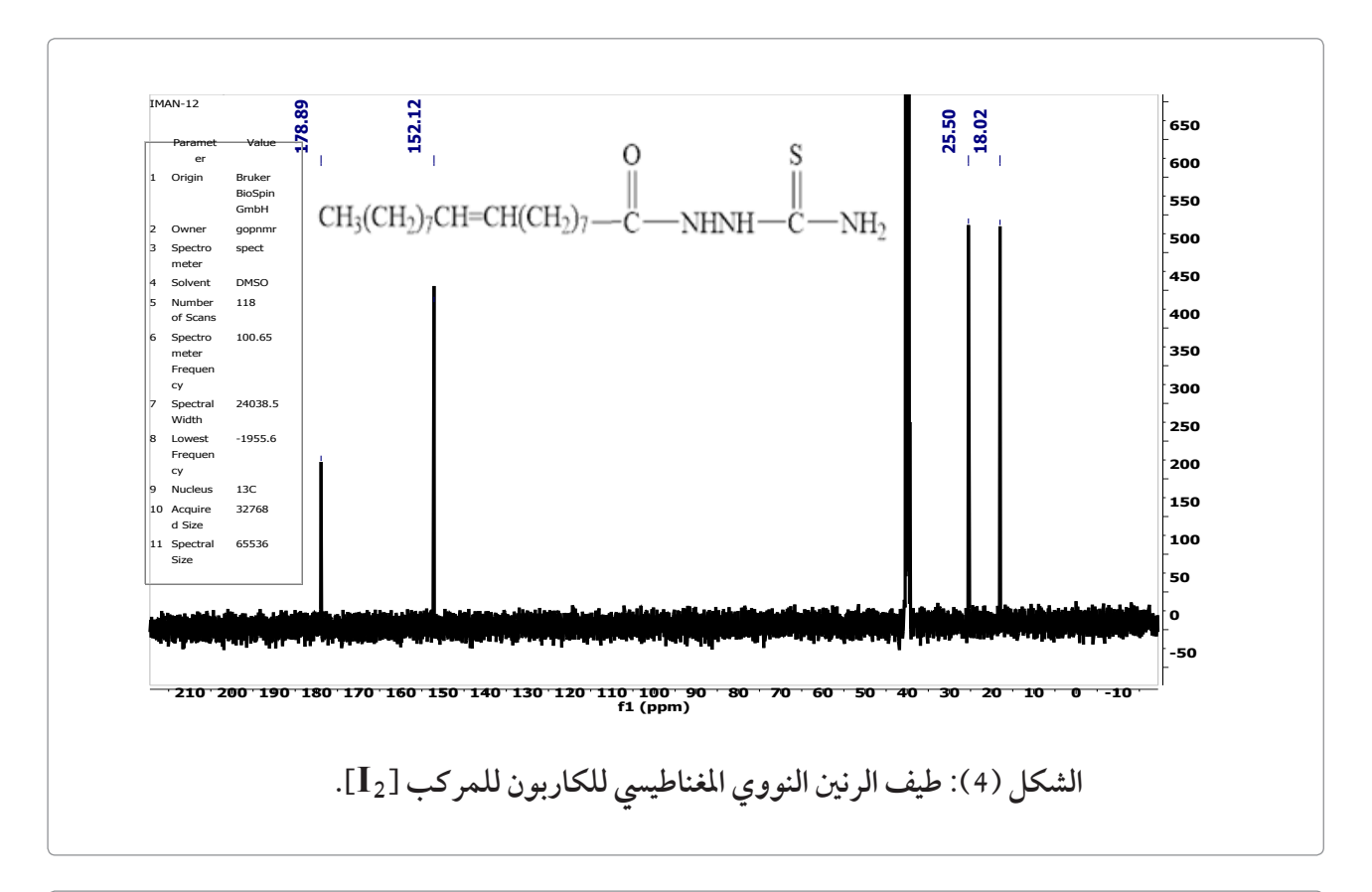
Amikacin Inhibition zone mm = R(<14), M(15-16), S(>17)

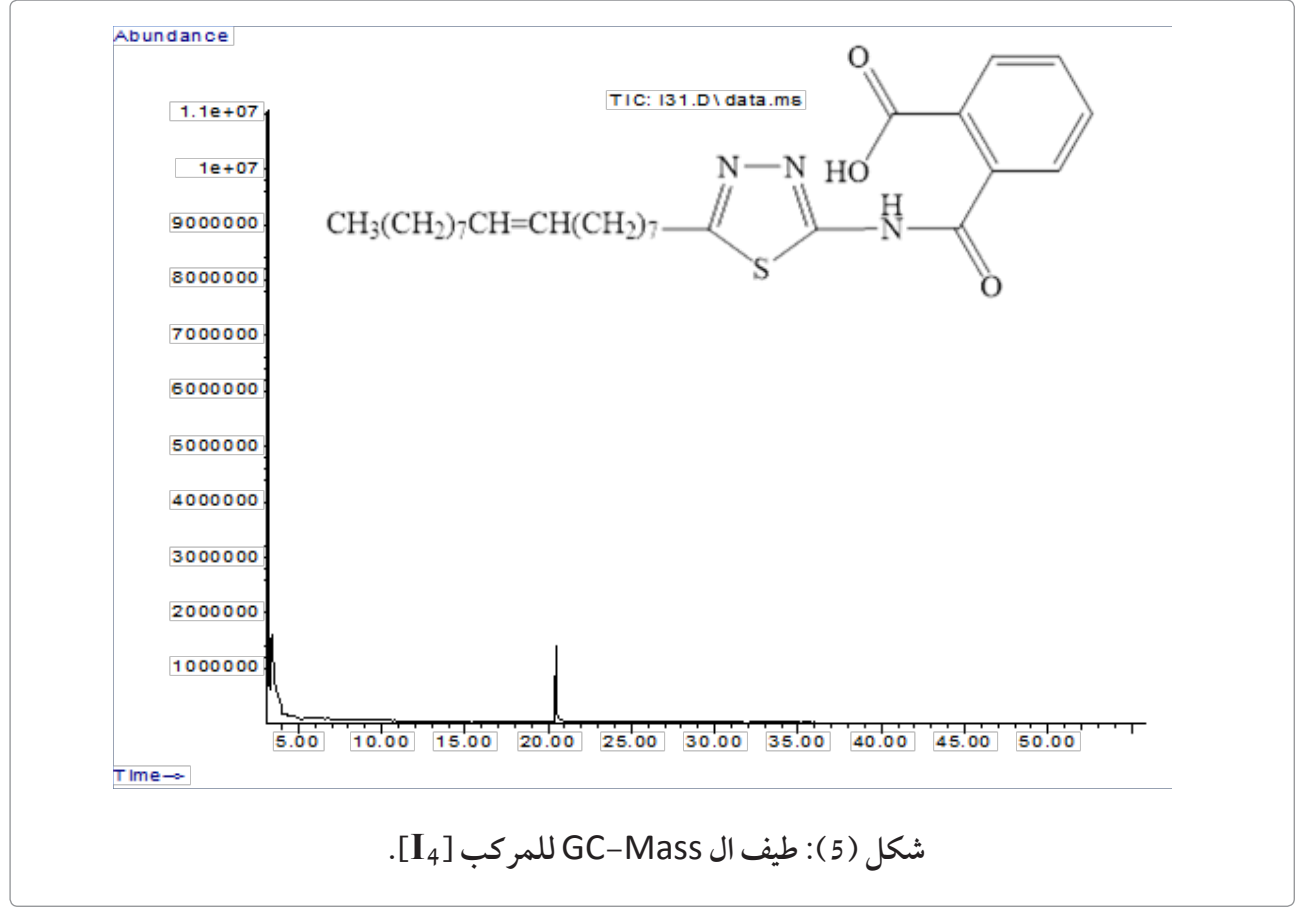


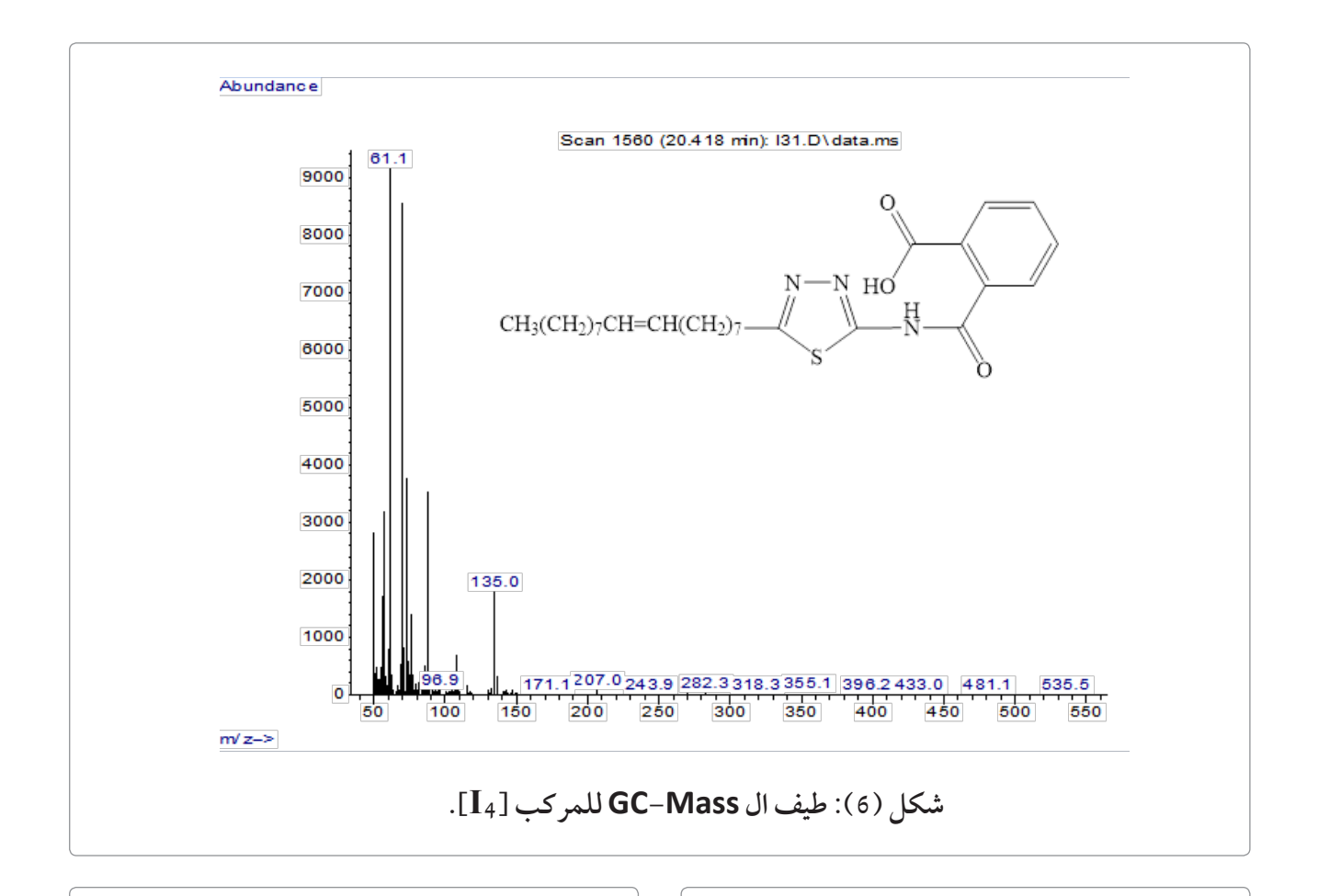
الشكل (1): طيف الأشعة تحت الحمراء للمركب [I_1].













شكل (7): الفعالية التثبيطية للمركب $[I_5]$ ضد بكتريا Staphylococcus aureus



شكل (7): الفعالية التثبيطية للمركب [\mathbf{I}_3] ضد بكتريا Staphylococcus Epidermidis

- 15. Rovnyak D., Martin G.& Williams A., "Modern NMR Approaches to the Structure Elucidation of Natural Products and Applications to Compound Classes", (2016): 190 - 192.
- 16. Moore E., "Fourier Transform Infrared Spectroscopy (FTIR): Methods, Analysis and Research Insights Chemical engineering methods and technology", (2016): 55 - 57.
- 17. Siesler H. W. & Salzer R., "Infrared and Raman Spectroscopic Imaging", (2014): 471 482.

المصادر

- 1. M. Sanaz, and A. Hasaninejad, "Organic Chemistry Frontiers", (2018). 5. (9): 1516-1521.
- 2. Bruce, P, Y. "Organic Chemistry" 4th ed. Prinitic hall Inc. Uppe Sadale River New Jersey (2008).
- 3. S.C. Benner, V.B. Jigajiani and V.V. Badiyer, Chem. Abst., 85, 94306j (1976).
- 4. A.R. Katritzy and A.J. Boiltou; "Advance in hetro cycle chemistry" 9. 108, Wiley, New York (1986).
- 5. E. Guistiniant; Gas Chem. Ital, 28 (11) 189 (1898).
- 6. F.E. King and D.A.A. Kidd; J. Chem. Soc. 3315 (1949).
- 7. R.J. Cotter, C.K. Sauers and J.M. Welam; J. Org. Chem., 26(10) (1961).
- 8. Maleki A., Firouzi-Haji R., and Farahani P., "Organic Chemistry Research", (2018), 4 (1): 86- 94.
- 9. A. Abdolmaleki, P. Pashaie, J. of Applied Chem. Res. 9(3): 43 54 (2015).
- 10. A.M. Al-Azzawi and H.K. Yassen, J. of Chem. and Pharm. Res., 8(8): 241 247 (2016).
- 11. Al-Juqhifi H.D., Thesis M.Sc. Univ. of Tikrit (2018).
- 12. P. Molina, Arques A. and Valcarcel M.V.; Synthesis, 944 (1982).
- 13. Richard, C.; Gilmore, J.R.; Horton, W.; J. Am. Chem. Soc. 73, 1411 (1951).
- 14. Dalaf, Adil Hussein, Fawzi Hameed Jumaa, and Salwa Abdul-Satar Jabbar. "Synthesis and Characterization of some 2, 3-dihydroquinozoline and evaluation of their biological activity." Tikrit Journal of Pure Science, 23.8 (2018): 66 67.